



# Metody separace

## přírodních láték

(5)

**Chromatografie; základní definice a klasifikace různých metod; kapalinová chromatografie, plynová chromatografie, přístrojová technika.**



# Chromatografie

## « F(+)d »

1897

D.T.Day  
-chromatografie LS frontální

1903

M.S.Cvet  
-chromatografie LS eluční

1931

A.Winterstein a E.Lederer

1941

A.J.P.Martin a R.L.M.Synge  
-chromatografie LL eluční

1952

-A.T.James a A.J.P.Martin



## DEFINICE CHROMATOGRAFIE

### Fenomenologická definice:

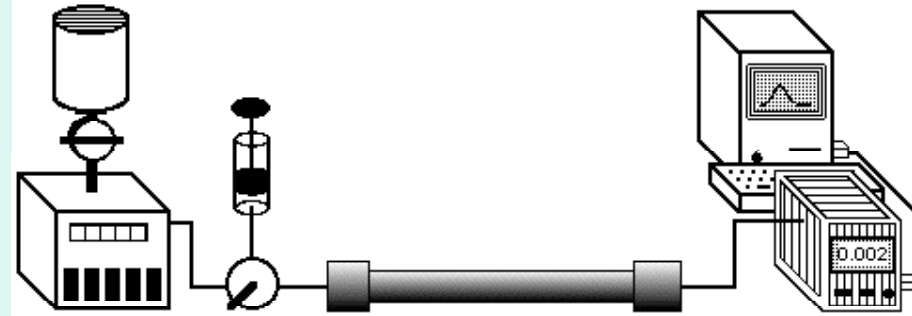
Diferenciální migrace (selektivní transport) separovaných molekul (solutu) v systému dvou fází, z nichž jedna fáze je stacionární a druhá mobilní.

### Kinetická definice:

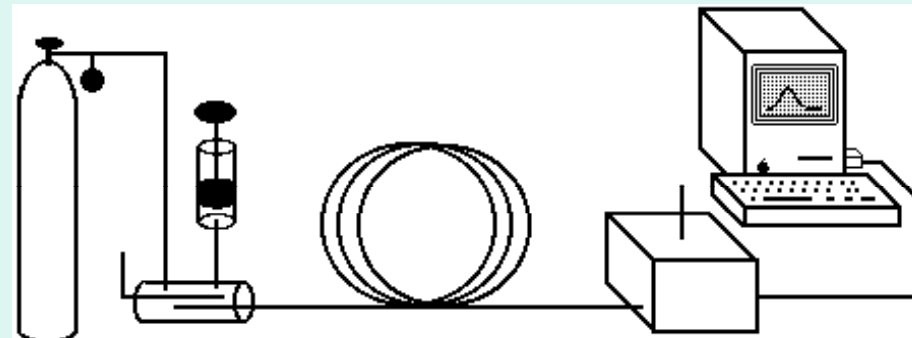
Kontinuální proces založený na konvektivním narušování a difuzivním obnovování rovnovážného stavu mezi koncentrací (aktivitou) solutu v mobilní a stacionární fázi.

# Princip, teorie a aplikace chromatografických metod

Schema přístroje pro chromatografiю v kapalné fázi (LC)



Schema přístroje pro chromatografiю v plynné fázi (GC)





## Komponenty přístroje pro kapalinovou chromatografii

Zásobníky rozpouštědla: -termostatovaný zásobník

-odplyňovač

-hydrostatický tlak

-tlak plynu

-lineární dávkovač

-peristaltické

-pístové

-rotační

-typ stříkačka-septum

-nástřikový ventil

-analytické

-preparativní

-optické

-elektrochemické

- .....

Nastřikovače:

Kolony:

Detektory:

Sběrače frakcí:

-rotační

-lineární

Záznam signálu detektoru

Zpracování experimentálních dat



## Komponenty přístroje pro plynovou chromatografií

Zásobník stlačeného plynu:

-tlakové láhve

Redukční ventil:

-regulace vstupního tlaku nosného plynu

Nastřikovače vzorku:

-stříkačka-septum  
-nástřikový ventil  
-splitter

Kolony:

-analytické  
-(preparativní)  
-tepelně vodivostní  
-FID  
- .....

Detektory

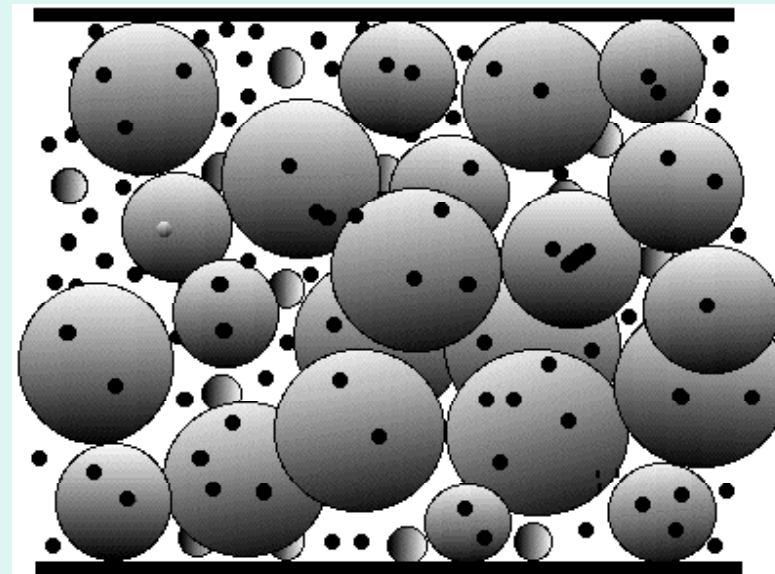
Záznam signálu detektoru

Zpracování experimentálních dat

## Struktura chromatografické kolony

### Plněná kolona

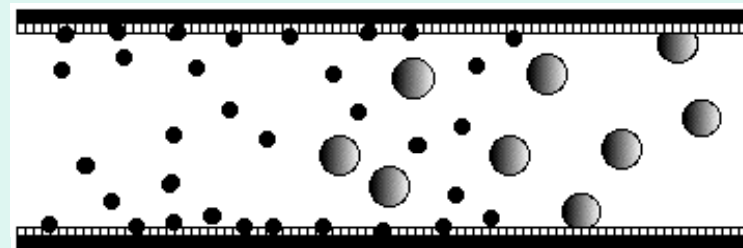
GC,  
 $d=10\text{-}200 \mu\text{m}$



LC,  
 $d=1\text{-}20 \mu\text{m}$

### Kapilární kolona

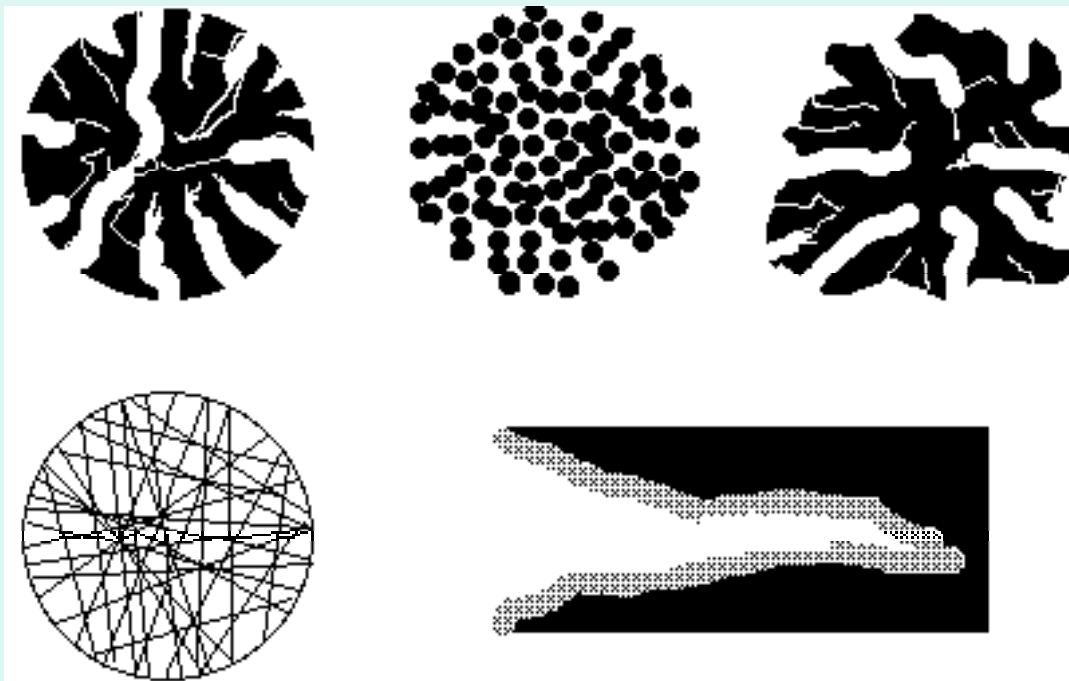
GC,  
 $d=20\text{-}100 \mu\text{m}$



LC,  
 $d=1\text{-}5 \mu\text{m}$



## Vnitřní struktura (porozita) částic náplně chromatografické kolony



***Mikropóry a makropóry***  
**Celkový objem naplněné kolony:**

$$V_T = V_0 + V_m + V_i$$

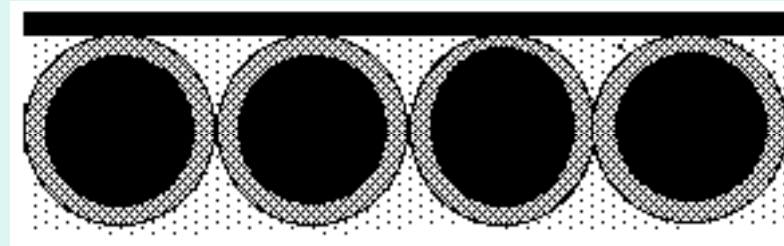
$$V_0 = (0,35 - 0,5) * V_T$$

$$V_p = V_m + V_i$$

$$V_i = (0,3 - 0,8) * V_p$$



## Klasifikace chromatografických systémů Stav koexistujících fází



### Chromatografické systémy:

Stacionární fáze	Mobilní fáze kapalina (LC)	plyn (GC)
pevná	LSC	GSC
pevná+kapalná	LSLC	GSLC
kapalná	LLC	GLC

**Fyzikální fáze je homogenní částí systému**  
**Chromatografická fáze může sestávat z více fyzikálních fází**



## Experimentální techniky:

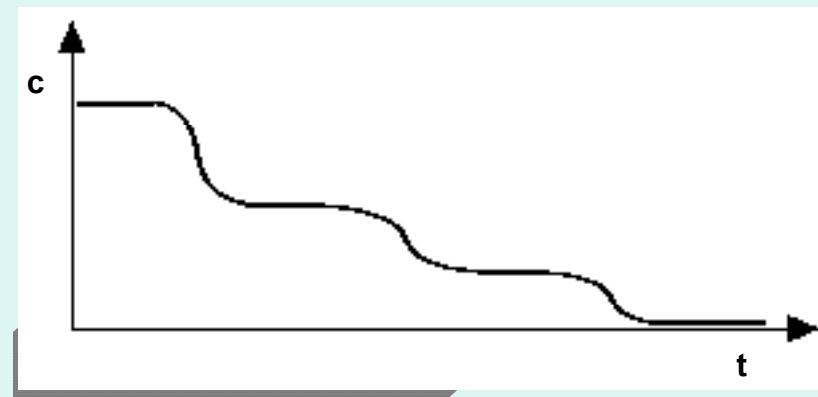
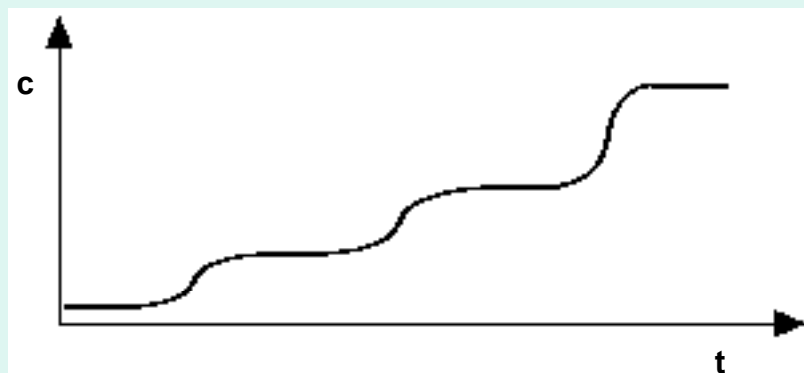
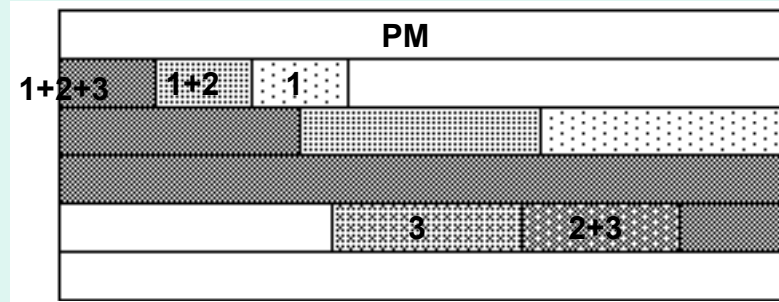
### Planární chromatografie

- na papíře
- na tenké vrstvě

### Kolonová chromatografie

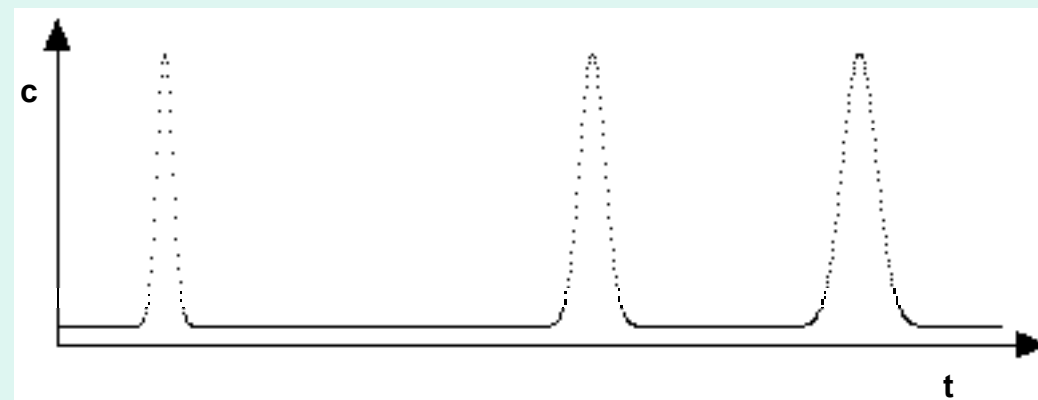
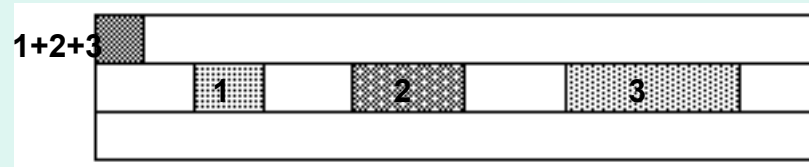
#### Frontální chromatografie:

- vzorek je kontinuálně dávkován na kolonu



## Eluční chromatografie

-vzorek je nastříknut na kolonu jako pulz v malém objemu mobilní fáze



Chromatogram tří separovaných solutů  
Souřadnice  $\underline{c}, \underline{t}$  mohou být nahrazeny  $\underline{c}, \underline{V}$ ;  $\underline{m}, \underline{t}$ ; nebo  $\underline{m}, \underline{V}$ .



## Mechanizmy interakcí mezi soluty a stacionárními fázemi

1. Rozpouštění (absorpce, extrakce) molekul solutu ve stacionární fázi
2. Adsorpce molekul solutu na povrchu stacionární fáze
3. Chemické reakce molekul solutu ve hmotě nebo na povrchu stacionární fáze (acido-bazické rovnováhy, tvorba komplexů, výměna iontů, asociace iontových párů, srážení, hydrofobní interakce, atd.)
4. Sterická exkluze
5. Iontová exkluze
6. Bioafinita

Všechny uvedené interakce mohou být kombinovány a určují tak typ chromatografické techniky.

Klasické mechanizmy chromatografických separací je možné posílit současným působením fyzikálních polí.



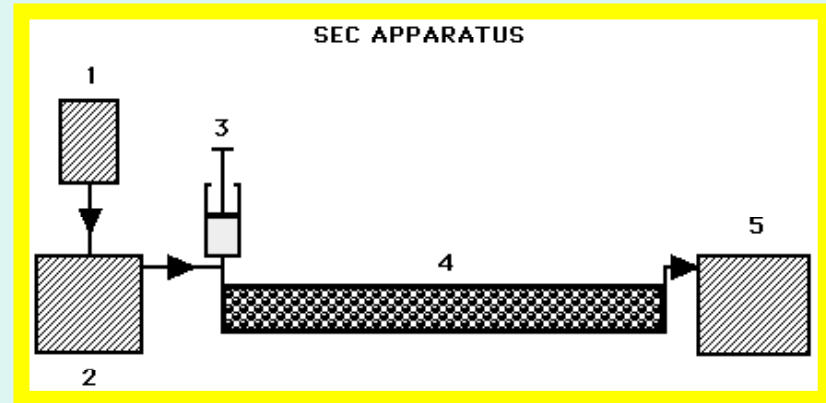
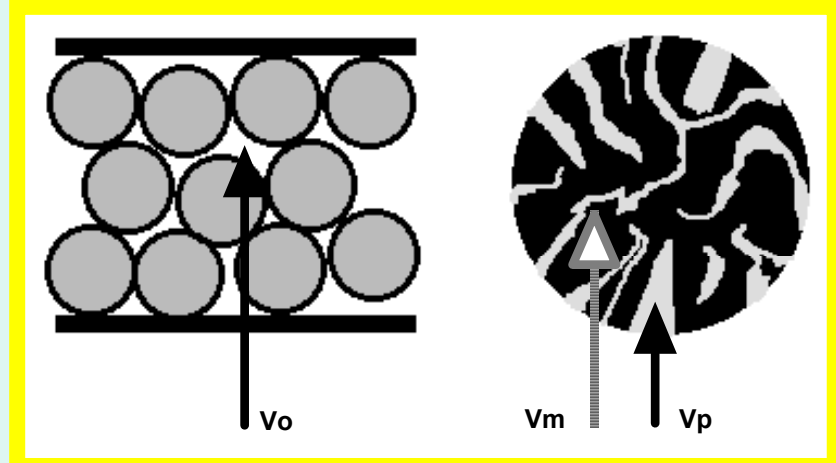
# Metody separace

## přírodních látEK

(6)

**Sterická exkluzní chromatografie, separační modely  
a mechanizmy, sekundární interakce, inverze retence  
v kritickém bodě, adsorpční chromatografie,  
multidetekční systémy.**

## Princip SEC



$$V_t = V_0 + V_m + V_p$$



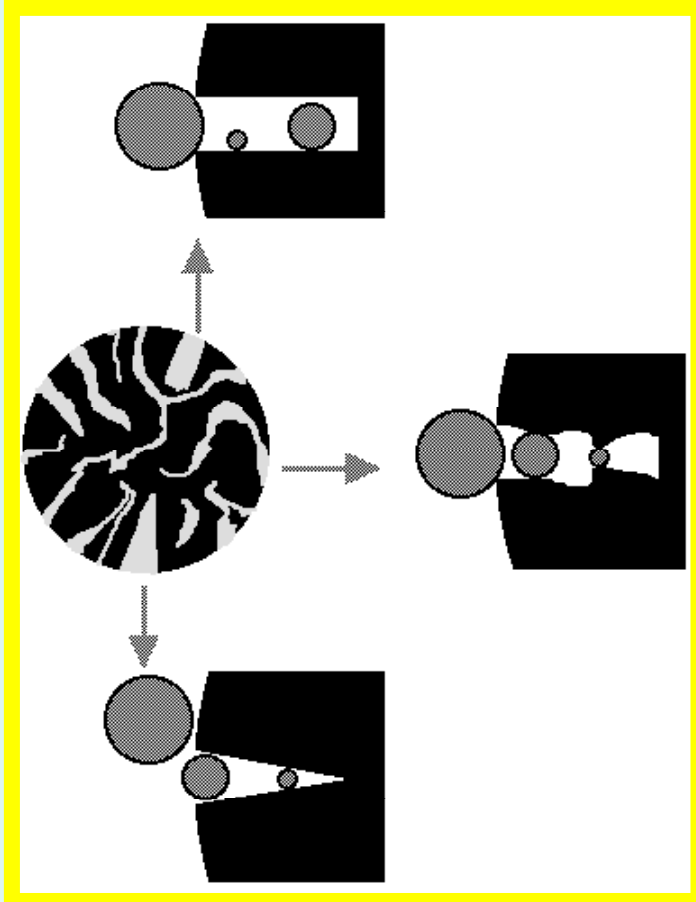
**Retenční objem je determinován dostupností části objemu jednotlivých pórů a distribucí rozměrů pórů celého systému.**

$$V_R = V_0 + K_{SEC} * V_p$$

$$K(R, r)_{SEC} = \frac{c_p}{c_0}$$

$$V_R = V_0 + \int_R^{r_{\max}} K(R, r)_{SEC} \phi(r) dr$$

## Geometrický model separačního mechanizmu



$$K_{SEC} = \left(1 - \frac{R}{r}\right)^2$$

pro

$$R \leq r$$

a

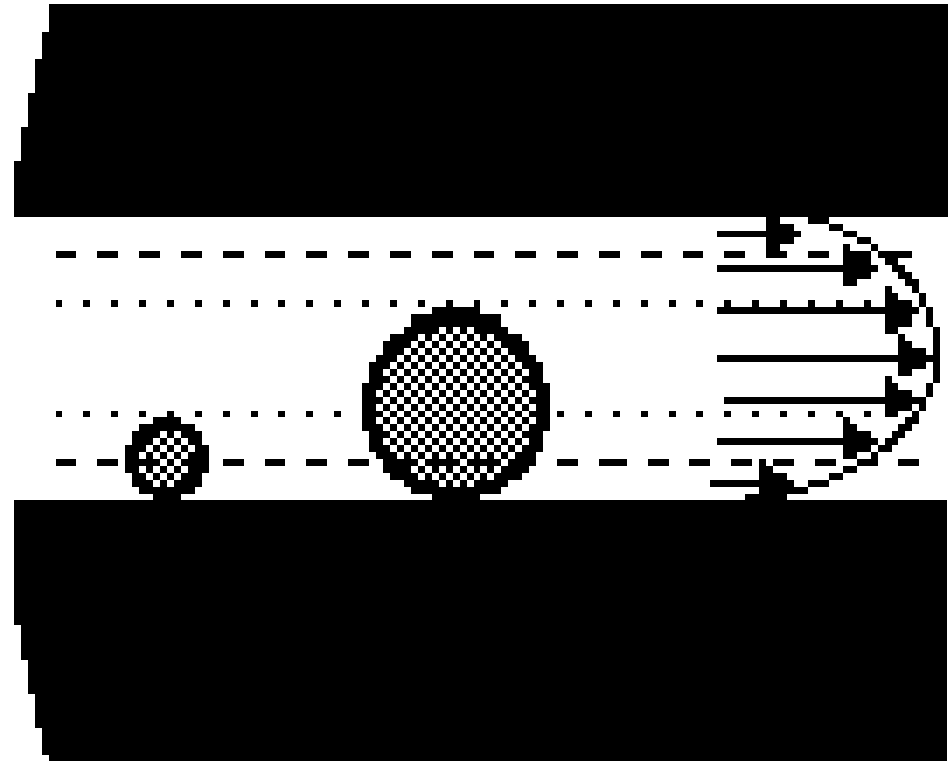
$$K_{SEC} = 0$$

pro

$$R \geq r$$



## Hydrodynamický model separačního mechanizmu



$$K_{SEC} = k \left( 1 - \frac{2R}{R_{\max}} \right)^3$$



## Termodynamický model separačního mechanizmu

$$dG = dH - TdS$$

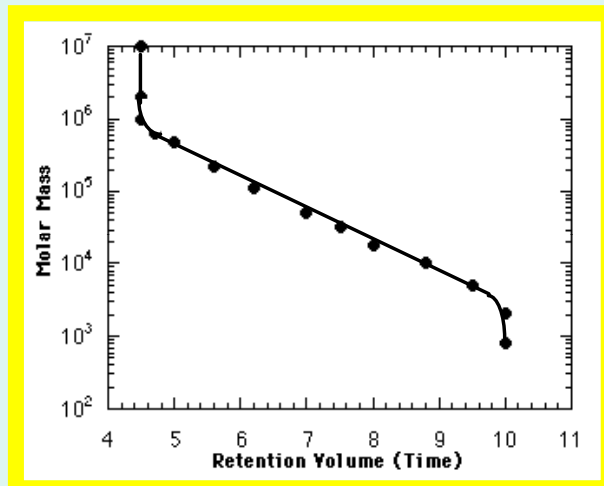
$$\mu_i = \mu_i^\circ + RT \ln c_i$$

$$dG = \left( \frac{\partial G}{\partial n_i} \right)_{T, P, n_{j \neq i}} dn_i \quad \mu_i^m = \mu_i^s$$

$$\mu_i = \left( \frac{\partial G}{\partial n_i} \right)_{T, P, n_{j \neq i}} \quad \frac{c_{si}}{c_{mi}} = \exp \left( \frac{\Delta \mu_i^\circ}{RT} \right) = K_{SEC}$$

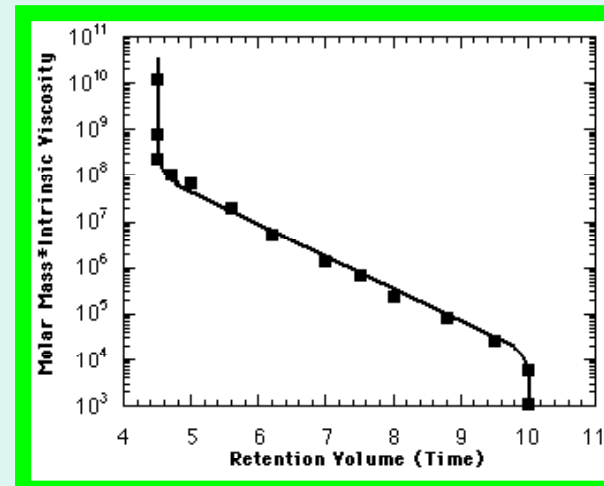
$$K_{SEC} = \exp \left( \frac{-\Delta H^\circ}{RT} \right) \exp \left( \frac{\Delta S^\circ}{R} \right)$$

**SEC je pouze separační technika. Střední hodnoty MH a DMH musí být vypočítány z experimentálních dat s využitím kalibrace.**



Jednoduchá  
kalibrace

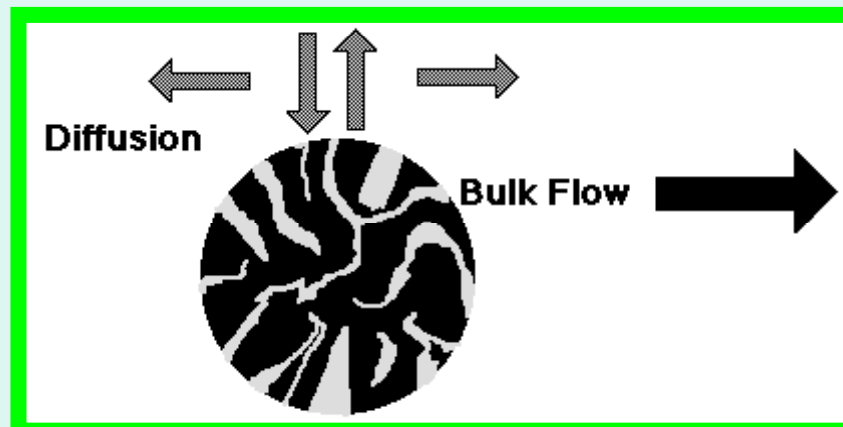
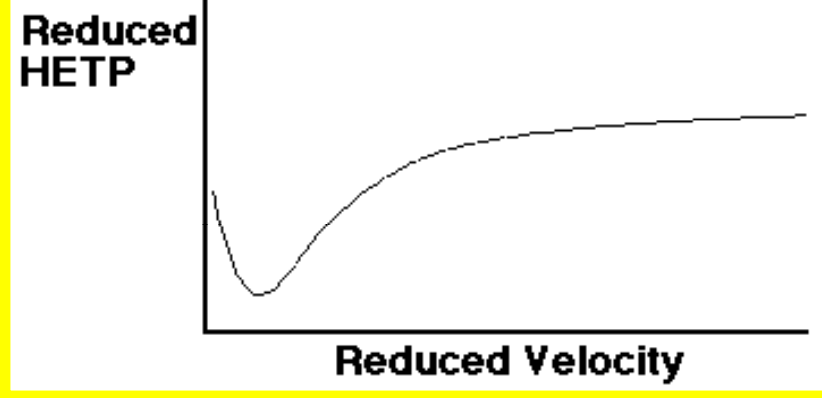
$$V_R = f(M)$$



Univerzální kalibrace

$$V_R = f(V_h = [\eta]M)$$

**Účinnost separačního  
systému závisí na  
průtoku**

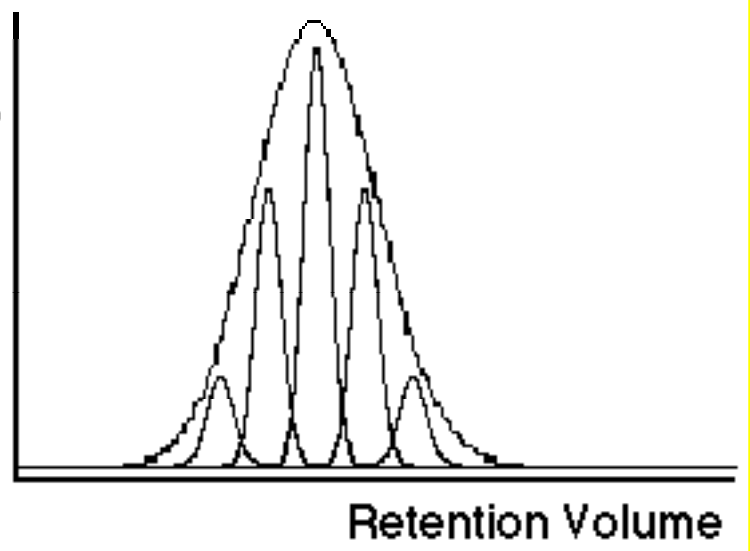


**Difuze a konvektivní  
transport**

Pro polymerizační stupeň  $n > 30$ , je rozdíl mezi efektivním rozměrem polymerních řetězců  $n$  a  $n+1$  příliš malý. Výsledkem je, že páky jednotlivých merů jsou superponovány.

Rozlišení separační kolony musí být dostatečné aby nebylo nutné korigovat výsledek na rozmytí zóny.

Detector Response



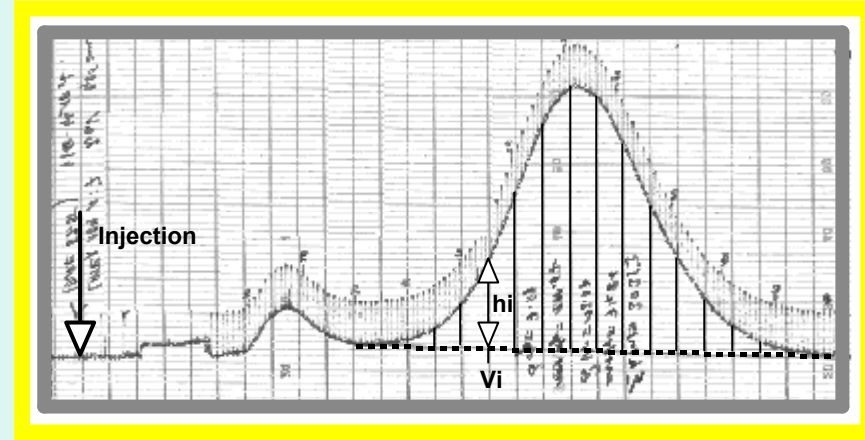
Detector Response

Chromatogram Corrected  
for Spreading

Raw Chromatogram

Retention Volume

## Zpracování dat



$$\bar{M}_n = \frac{\sum_i h_i}{\sum_i h_i / M_i}$$

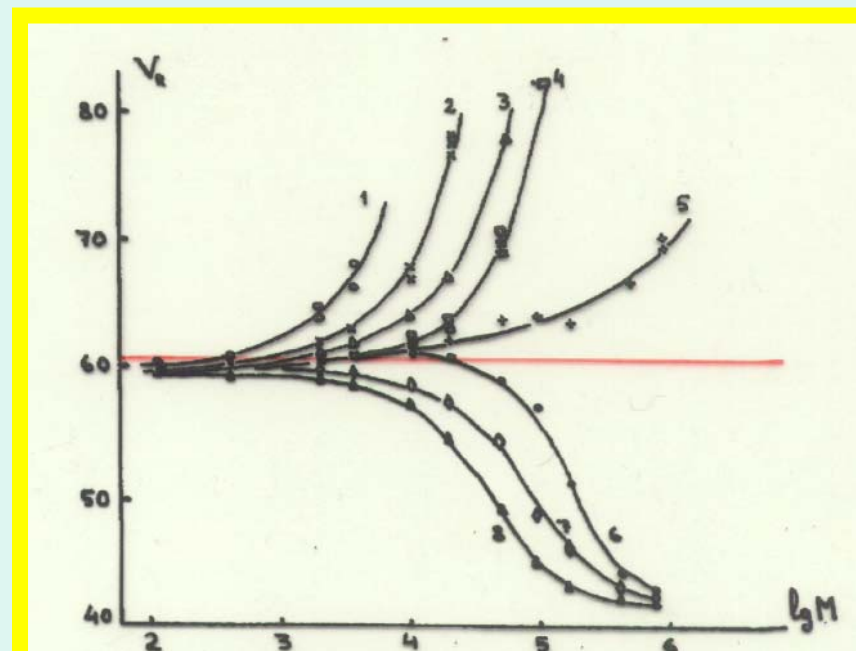
$$\bar{M}_w = \frac{\sum_i h_i M_i}{\sum_i h_i}$$

$$\bar{M}_z = \frac{\sum_i h_i M_i^2}{\sum_i h_i M_i}$$

$$\bar{M}_v = \left[ \frac{\sum_i h_i M_i^a}{\sum_i h_i} \right]^{1/a}$$

$$[\eta] = KM^a$$

## Sekundární interakce



**Figure 1** Retention volume versus logarithm of molecular weight dependencies in the polystyrene–silica gel-tetra-chlormethane/chloroform system at various temperatures: 1) 42 °C, 2) 36 °C, 3) 32 °C, 4) 31.5 °C, 5) 30.4 °C, 6) 29.5 °C, 7) 26.1 °C, and 8) 23 °C. Mixed eluant composition  $[CCl_4]:[CHCl_3] = 94.5:5.5$  vol percents, average diameter of adsorbent pores,  $D = 12$  nm. (Experimental data are taken from Ref. 2.)



## Sekundární interakce

1. Adsorpce, rozdělování, srážení
2. Nekompatibilita
3. Hydrodynamické jevy
4. Koncentrační efekty
5. Elektrostatické interakce, iontová exkluze a inkluze